

## مطالعه خصوصیات زمین شناسی مهندسی سازند گچساران در منطقه رامهرمز (مخزن سد جره)، شرق

## خوزستان

محمدحسین قبادی

استاد گروه زمین شناسی دانشگاه بوعالی سینا همدان

محمد محمدیان

دانشجوی کارشناسی ارشد زمین شناسی مهندسی دانشگاه بوعالی سینا همدان

حسن محسنی

استادیار گروه زمین شناسی دانشگاه بوعالی سینا همدان

رامین کرمی

دانشجوی دکتری زمین شناسی مهندسی فردوسی مشهد

تاریخ پذیرش: ۱۵/۰۸/۹۲ تاریخ دریافت: ۱۱/۰۱/۹۰

amirghobadi@yahoo.com

## چکیده

واحدهای سنگی مختلف در سازندها با ویژگی‌های سنگ‌شناسی، فیزیکی و مکانیکی متفاوت، رفتار متفاوتی از خود نشان داده و مطالعه دقیق آنها ضروری می‌باشد. هدف از این پژوهش بررسی خصوصیات زمین شناسی مهندسی سازند گچساران، ارزیابی پتانسیل انحلال پذیری ژیپس و ارزیابی پتانسیل تورم مارن‌ها در منطقه رامهرمز، بهویژه مخزن سد جره است. بر اساس مطالعات سنگ‌شناسی این سازند شامل اندکهای ژیپس، انواع مارن و آهک ماسه‌ای رس دار می‌باشد. ژیپس‌ها بر اساس بافت به دو نوع ژیپس آلاپاستر (ریزدانه) و ژیپس پورفیریتیک (درشت دانه) و مارن‌ها بر اساس ترکیب کانی شناسی به ۴ واحد تقسیم شدند. نتایج نشان داد که بافت سنگ، بهویژه شکل و اندازه دانه‌ها، یک عامل مهم کنترل کننده خصوصیات مکانیکی ژیپس‌های مذکور می‌باشد. از طرفی درصد کانی‌های رسی، کربنات کلسیم و ژیپس عامل کنترل کننده ویژگی‌های مارن‌ها می‌باشد. بر اساس رده‌بندی مهندسی سنگ بکر، ژیپس آلاپاستر در رده DH، ژیپس پورفیریتیک، مارن‌ها و آهک ماسه‌ای در رده EH قرار گرفتند. بر اساس نتایج آزمایش انحلال، ژیپس آلاپاستر به علت داشتن بافت ریز دانه و داشتن سطح تماس بیشتر با محلول دارای قابلیت انحلال بیشتری نسبت به ژیپس پورفیریتیک می‌باشد. همچنین با افزایش اسیدیتۀ محلول، پتانسیل انحلال ژیپس افزایش یافته که در  $pH = 6.5 - 7$  برای ژیپس آلاپاستر و پورفیریتیک به ترتیب برابر  $2.72 \text{ g}/\text{l}$  و  $2.63 \text{ g}/\text{l}$  می‌باشد. نتایج آزمایش تورم مارن‌ها نشان داد که بیشترین مقدار کرنش تورمی در آب مقطر برابر  $23/64\%$  بوده و فشار تورمی آن برابر با  $Kpa$   $157 \text{ mPa}$  می‌باشد. همچنین مشخص شد که افزایش درصد ژیپس در نمونه‌های مارن و افزایش غلط ژیپس محلول در آب نقش مهمی در کاهش درصد کرنش تورمی و فشار تورمی مارن‌ها دارد. در این پژوهش برای پیش‌بینی مقاومت واحدهای سنگی، از سیستم ANFIS به عنوان ترکیبی از منطق فازی با شبکه‌های عصبی در قالب روش‌های neuro-fuzzy استفاده شد که ورودی‌های آن شامل مقاومت کششی، درصد تخلخل و شاخص دوام سیکل اول برای  $10^5$  نمونه آزمایشگاهی می‌باشد. نتایج این مدل نشان داد که بیشترین مقاومت در بین واحدهای سنگی، مربوط به ژیپس آلاپاستر است.

**کلمات کلیدی:** خصوصیات زمین شناسی مهندسی، سازند گچساران، انحلال پذیری، تورم، سیستم ANFIS، مخزن سد جره، رامهرمز

## مقدمه

داشته و پژوههایی مثل مخزن سد جره، سازه پارک کوهستان، دیوارهای حایل پارک کوهستان، جاده رامهرمز به شهرهای باغمک، ایده، مسجد سلیمان، هفتکل و شوستر، دیوارهای حایل مسیر جاده، دکلهای فشار قوی انتقال برق رامهرمز، خط لوله انتقال نفت رامهرمز-اصفهان و غیره بر روی سازند گچساران احداث شده‌اند. عدم توجه به مسائل مهندسی سازند گچساران، ممکن است که مشکلاتی را برای این پژوهه‌ها ایجاد کند. هدف از انجام این پژوهش، مطالعه خصوصیات مهندسی سنگ‌های سازند گچساران، مطالعه انحلال پذیری ژیپس‌ها، مطالعه تورم مارن‌ها و ارائه یک مدل کامپیوتری برای سازند گچساران، جهت تعیین مقاومت مکانیکی سنگ‌ها با استفاده از دیگر پارامترها است. در این پژوهش سعی شده تا با انجام آزمایش، خصوصیات مهندسی سازند گچساران بهویژه در مخزن سد جره، بصورت عددی بیان گردد تا در پژوهه‌های در حال اجرا بر روی این سازند، بکار گرفته شده و جلوی ایجاد مشکلات بیشتر را بگیرد.

طراحی واجراه موفق سازه‌های عمرانی در گرو شناخت ویژگی‌های فیزیکی، مکانیکی، ترکیب کانی شناسی و آگاهی از رفتار مهندسی سنگ‌ها در محل پژوهه است که در مواردی مانند سد سازی، تونل‌بری و جاده سازی این موضوع از اهمیت بیشتری برخوردار است. سازند گچساران به عنوان یکی از سازندهای تبخیری ناحیه زاگرس در مناطق جنوبی و جنوب‌غربی کشور گسترش زیادی دارد. بسیاری از راههای ارتباطی در این مناطق از این سازند عبور می‌کنند. سدهای زیادی در این مناطق احداث شده‌اند که مخزن آنها روی این سازند واقع است (سد های مارون، سلمان فارسی، تنگ سرخ، گتوند، کارون ۳، کرخ، چم شیر، تنگ شمیران). تمام یا یک قسمتی از تونل‌های بزرگراه خرم آباد-پل زال هم در سازند گچساران حفاری شده‌اند. همواره اجرای پروژه‌های عمرانی و مهندسی بر روی این سازند با مشکلاتی همراه می‌باشد. انحلال ژیپس‌ها، متورم شدن مارن‌ها و پایین بودن مقاومت مکانیکی سنگ‌های سازند گچساران، از جمله این مشکلات مهندسی است که می‌توانند برای پژوهه‌های مهندسی، هزینه‌ساز باشند. در منطقه رامهرمز، سازند گچساران گسترش زیادی

ساختگاه سد خیرآباد بهبهان (موسوی، ۱۳۸۵)، تعیین انحلال ژیپس‌های سازند گچساران در سد تنگ سرخ (پرهیزکار، ۱۳۸۶) و مطالعه انحلال پذیری ژیپس‌های سازند گچساران در محل سد چم شیر (ترابی، ۱۳۸۹) نمونه‌هایی از پژوهش‌های انجام شده است. نتیجه این مطالعات، لزوم توجه به میزان انحلال ژیپس و احتمال فرار آب از طریق این سنگ را مشخص‌تر کرد. ساخت سازه‌های عمرانی در هر منطقه نیازمند پی مناسب است. یافتن پی مناسب از میان چند لیتوولوژی با رفتارهای مکانیکی متفاوت، مثل لیتوولوژی‌های سازند گچساران به مطالعه زیادتری نیاز دارد. در این تحقیق جهت پیش‌بینی مقاومت و احدهای سنگی سازند گچساران و یافتن مقاومت حداکثر از ترکیب شبکه عصبی و منطق فازی در قالب سیستم ANFIS و با عنوان ANFIS استفاده شده است. ANFIS برای حل بسیاری از مسائل ژئوتکنیکی مثل مدل کردن زاویه اصطکاک خاک، آنالیز پایداری تونل، تخمین عمق جوشش در اطراف گروه شمع‌ها، پیش‌بینی مقاومت تراکمی تک محوره تخمین پتانسیل تورم و تخمین نفوذپذیری خاک بکار گرفته شد که بسیار مفید واقع شد (Cabalar et al., 2012).

### زمین شناسی

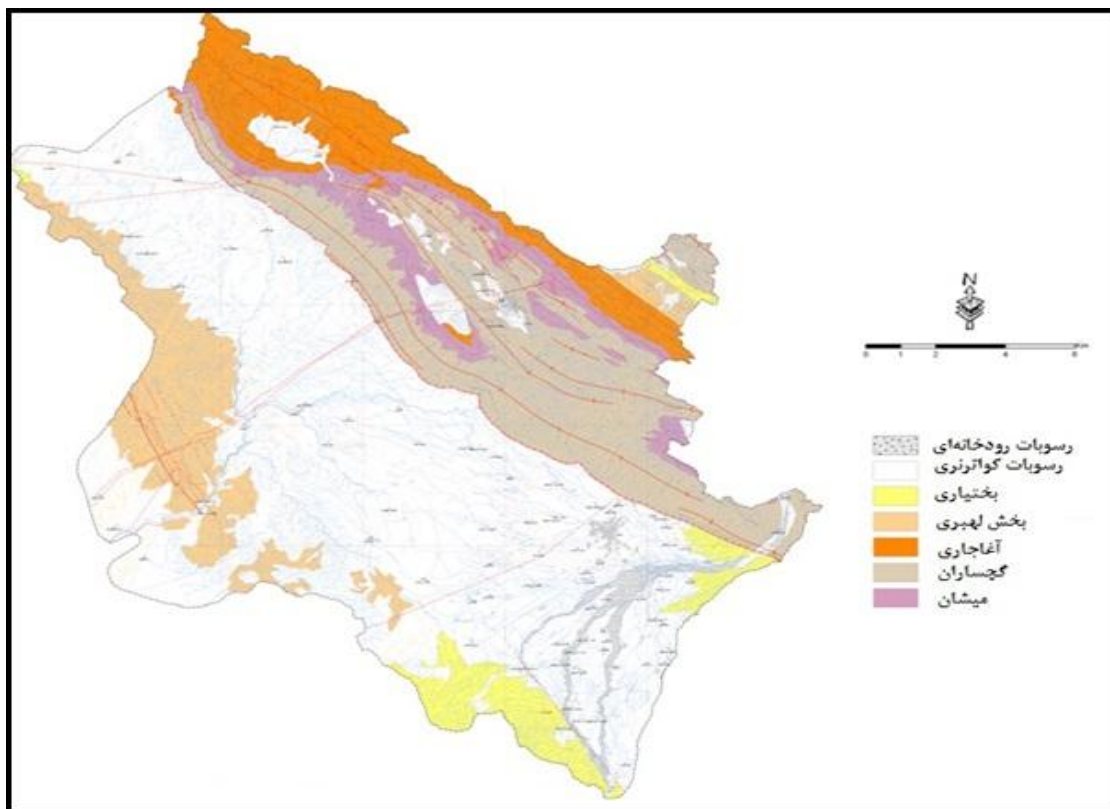
در منطقه رامهرمز سازندهای عهد حاضر رخمن دارند که در این بین سازند گچساران بیشترین گسترش را دارد (شکل ۱). سازند گچساران که نام آن از میدان نفتی گچساران گرفته شده از ۷ بخش (ممبر) تشکیل شده که بخش ۱ بصورت همشیب در بالای مخزن نفتی آهک آسماری قرار گرفته و مهمترین بخش می‌باشد که پوش سنگ نامیده می‌شود. بخش ۷ بصورت همشیب زیر سازند میشان قرار گرفته و شامل لایه‌های ژیپس، مارن‌های سبز و قرمز، آهک ماسه‌ای و نمک می‌باشد (James and Wynd, 1965). در ناحیه مورد مطالعه سازند گچساران در دو بخش رخمن دارد: یک بخش از جنوب شرق تا شمال غرب شهر رامهرمز با طول حدود ۱۰۰ و با پهنای ۴ تا ۱۱ کیلومتر که در نتیجه عملکرد گسل رامهرمز در مجاورت دشت رامهرمز رخمن پیدا کرده است (محمدیان و همکاران، ۱۳۸۹). بخش دیگر که تقریباً به موازات بخش قبلی است، در اثر عملکرد گسل جره رخمن پیدا کرده (شکل ۲) و در حدود دو سوم از مخزن سد جره در شمال شهر رامهرمز را در بر می‌گیرد (برجسته و برقی، ۱۳۸۸). بارزترین مشخصه سازند گچساران چرخه‌ای بودن نهشته‌های آن می‌باشد. این چرخه به ترتیب شامل ردیفی از مارن‌های رنگی، کربنات‌ها، آنیدریت، ژیپس و نمک‌ها می‌باشند. سازند گچساران در منطقه رامهرمز شامل تناوبی از لایه‌های ژیپس، انواع مارن و آهک ماسه‌ای است (شکل ۳). ژیپس‌ها بیشترین خاصیت و گسترش را در منطقه دارند اما رخمن‌های آهک بصورت لایه‌های نازک گسترش کمی دارند. مارن‌های سازند گچساران بعد از ژیپس بیشترین پراکندگی را دارد و به رنگ‌های مختلفی دیده می‌شوند. مارن‌های خاکستری تا سبز و مارن‌های قرمز دارای گسترش بیشتری می‌باشند. با توجه به فرسایش ژیپس و مارن‌ها سازند گچساران دارای مورفولوژی تپه ماهوری است. وجود چین‌های بسیار کوچک و متعدد از ویژگی‌های این سازند محسوب می‌گردد. در این منطقه، نمک به دلیل انحلال سریع در رخمن‌ها بسیار کم دیده می‌شود. در نتیجه انحلال نمک، آبهای خارج شده از این سازند دارای شوری بالایی بوده و سبب ایجاد نمکزارهایی در منطقه شده‌اند. بر اساس مطالعات صحرایی، سازند گچساران در منطقه مورد مطالعه همراه با سازند میشان رخمن دارد. از این‌رو، سازند گچساران در منطقه رامهرمز در مقایسه با مقطع تیپ، معادل بخش هفتم سازند گچساران است.

مطالعه خصوصیات زمین شناسی مهندسی واحدهای مارنی ایران مورد توجه پژوهشگران داخلی و خارجی بوده است. خامه‌چیان، ویژگی‌های فیزیکی و مکانیکی سنگ‌های مارنی-رسی از دو سازند آغازاری، میشان و لایه‌های مارن تبریز را مورد مطالعه قرار داد و نتیجه گرفت که درصد رس و کربنات و نوع رس از عوامل اصلی کنترل کننده ویژگی‌های زمین شناسی مهندسی این سنگ‌ها می‌باشد. به نحوی که با افزایش درصد کربنات در سنگ‌های مارنی-رسی خصوصیات فیزیکی و مکانیکی آنها بهبود می‌یابد و حساسیت سنگ در برابر آب کاهش‌پیدا می‌کند (خامه‌چیان، ۱۳۶۹).

مطالعه خصوصیات زمین شناسی مهندسی سنگ‌های مارنی (سازند تلخ) ساختگاه سد دوستی نشان داد که بسیاری از خواص فیزیکی و مکانیکی مارن‌ها تابع ترکیب شیمیابی آنها بوده و این سنگ‌ها از نظر رفتار مکانیکی در ضعیف ترین گروه سنگی قرار می‌گیرند (رضابی، ۱۳۷۹). نتایج مطالعه دوام سنگ‌های مارنی و انحلال پذیری ژیپس‌های سازند آغازاری در محل سد خیرآباد نشان داد که بین شاخص دوام و ترکیب کانی شناسی سنگ‌ها ارتباط مشخصی وجود دارد بگونه‌ای که سنگ‌های دارای درصد کربنات بیشتر از شاخص دوام و شکفتگی بالاتری برخوردار می‌باشند. همچنین با افزایش مقدار رطوبت، شاخص خمیری و فشار تورم، دوام به مقدار قابل ملاحظه‌ای کاهش پیدا کند (موسوی، ۱۳۸۵).

مطالعه خصوصیات زمین شناسی مهندسی سازند قم در شمال و شمال شرق همدان نشان داد که ویژگی‌های مکانیکی سنگ‌ها متأثر از ترکیب کانی شناسی، اندازه دانه‌ها، ساخت و بافت می‌باشد. همچنین مشخص شد که درصد کربنات و کانی رسی موجود در مارن‌ها تأثیر بسیاری در رفتار مهندسی آنها دارد (کاپله‌ی، ۱۳۸۷). عمرانی و همکاران، ویژگی‌های مهندسی مارن‌های نفوذ در جنوب شرقی اسپانیا را مورد مطالعه قرار دادند و نتیجه گرفتند که میزان کربنات کلسیم با مقاومت برشی ارتباط مستقیم داشته و با شاخص واگرایی و رفتار تورمی رابطه عکس دارد (Amrani et al., 1998). صدر کریمی و همکاران ویژگی‌های ژئوتکنیکی مارن‌های شهر تبریز را مورد مطالعه قرار دادند و نتیجه گرفتند که حد روانی و حد خمیری مارن‌ها به ترتیب بین ۱۰۰ تا ۳۲ و ۷ تا ۶۰ در تغییر است. همچنین درصد تورم و فشار تورمی به ترتیب حدود ۱۳/۶٪ و ۱۰۲۰ کیلو پاسکال اندازه گیری شد (Sadrekarimi et al., 2006). لوانا و همکاران، ویژگی‌های کانی شناسی و ژئوتکنیکی سنگ‌های ضعیف در مناطق مرکزی یونان را مورد بررسی قرار دادند و نتیجه گرفتند که با کاهش مقدار کانی‌های رسی در سنگ، مقاومت و شاخص دوام افزایش یافت (Loanna et al., 2009).

سنگ‌های سولفاتهای مثل ژیپس به دلیل گسترش و اهمیتی که دارند توسط پژوهشگران مورد مطالعه قرار گرفته‌اند. بل، خصوصیات مهندسی ایندیزیت و ژیپس‌های مناطق شمال و مناطق میانی انگلستان را مورد مطالعه قرار داد. و نتیجه گرفت که کانی‌های یاد شده تخلخل کمی دارند و بر اساس آزمون مقاومت تراکمی تک محوری، ژیپس دارای مقاومت متوسطی می‌باشد (Bell F., Yilmaz I., 1994). نواع ژیپس در ترکیه را مورد مطالعه قرار داد و نتیجه گرفت که بافت، بهویژه اندازه و شکل دانه‌ها، نقش مهمی در کنترل و تفاوت خصوصیات مکانیکی دو نوع ژیپس دارد. همچنین در سال‌های اخیر تحقیقاتی در ارتباط با انحلال ژیپس در محل تعدادی از سدهای کشور انجام گردیده است. مطالعه انحلال پذیری ژیپس‌های سازند گچساران در محل سد تنگ شمیران ایلام (باغداردخت، ۱۳۸۴)، ارزیابی میزان انحلال ژیپس‌های سازند آغازاری در



شکل ۱. نقشه زمین‌شناسی منطقه رامهرمز (اقتباس از نقشه ۱:۱۰۰۰۰۰ شرکت نفت)



شکل ۲. رخمنون سازند گچساران در مخزن سد جره در شمال رامهرمز (دید به سمت شمال شرق)



شکل ۳. مقطع چینه شناسی سازند گچساران در منطقه رامهرمز

MATLAB به کار گرفته شده که در آن داده‌های آزمایشگاهی به عنوان ورودی منظور شدن و گراف‌های پیش‌بینی مقاومت سنگ، نقش خروجی را داشتند.

#### سنگ‌شناسی

بر اساس مطالعات سنگ‌شناسی که توسط میکروسکوپ نوری انجام شده، سنگ‌های منطقه مورد مطالعه شامل ژیپس، مارن و آهک ماسه‌ای می‌باشند.

#### ژیپس

سولفات‌های سازند گچساران ابتدا بصورت ژیپس بوده اما با افزایش عمق و دما، آب خود را از دست داده و به انیدریت تبدیل شده‌اند. در اثر فرایندهای تکتونیکی انیدریت به سطح آمده و در شرایط فشار و دمای کمتر قرار می‌گیرد که در اثر آبگیری مجدد به ژیپس تبدیل می‌شود. بنابر این سولفات‌های سازند گچساران در اعمق زیاد (مثل میدان‌های نفتی) به صورت انیدریت بوده و در سطح زمین بصورت ژیپس نمایان می‌شوند. بر اساس مطالعات میکروسکوپی، ژیپس‌های مورد مطالعه با دو بافت آلاماستر و پورفیریتیک دیده می‌شوند. ژیپس‌های آلاماستر و پورفیریتیک ثانویه می‌باشند. ژیپس آلاماستر، بصورت ژیپس توده‌ای بسیار متراکم، بافت بسیار ریزدانه، معمولاً سفید برگی و مات بوده اما گاهی اوقات دارای رنگ زرد، قهوه ای، قرمز، نارنجی یا سبز دیده می‌شوند. ژیپس پورفیریتیک، دارای بافت درشت دانه بوده که در آن بلورهای بزرگ در

#### روش کار

در این پژوهش بلوک‌های سنگی از مخزن سد جره و دیگر بخش‌های مختلف سازند گچساران در منطقه رامهرمز به آزمایشگاه زمین شناسی مهندسی دانشگاه بوعلی سینا همدان انتقال داده شد و از آنها مقاطع نازک تهیه گردید. با استفاده از آزمایش کلسیمتری به روش "تیتراسیون برگشتی" مقدار کربنات کلسیم نمونه‌های مارن و آهک ماسه‌ای تعیین شد. جهت تفکیک کردن مارن از سیلتستون، آزمایش هیدرومتری بر روی نمونه‌ها انجام گردید. برای تعیین نوع کانی‌های رسی، از آنالیز XRD استفاده شد. بر اساس ویژگی‌های سنگ شناسی، نمونه‌های سنگی طبقه بندی شدند. به منظور انجام آزمایشات فیزیکی و مکانیکی بر روی نمونه‌ها، از بلوک‌های سنگی مغزه‌گیری به عمل آمد. خصوصیات فیزیکی مثل وزن مخصوص بخش جامد، وزن واحد حجم، درصد رطوبت، درصد جذب آب، درصد تخلخل، سختی اشمتی و ویژگی‌های مکانیکی سنگ مانند شاخص مقاومت بار نقطه‌ای، مقاومت تراکمی تک محوره و مقاومت کششی بر اساس استانداردهای ISRM و ASTM بدست آمد. جهت تعیین میزان انحلال پذیری ژیپس، از آزمایش انحلال به روش سیرکولاسیون استفاده شد. تورم نمونه‌های مارن با استفاده از دستگاه تحکیم و طبق استاندار ISRM تعیین گردید. برای پیش‌بینی مقاومت واحدهای سنگی با استفاده از داده‌های آزمایشگاهی، از سیستم ANFIS استفاده شد. به این منظور نرم افزار

دوم سطح آب و پایداری سنگ‌ها دارد. آزمون دوم پذیری براساس استاندارد ASTM D4644 در ۱۵ سیکل برای نمونه‌های ژیپس، آهک ماسه ای، واحدهای ۱۰ و ۲۰ مارنی و در ۱۰ سیکل برای واحدهای ۳ و ۴ مارنی انجام گردید. شاخص دوم شکفتگی (Id) برای هر سیکل به عنوان درصدی از نسبت بین وزن خشک ابتدایی و نهایی سنگ بعد از سیکل‌های تر و خشک‌شدن محاسبه شد. جهت خشک کردن نمونه‌های ژیپس و مارن‌های حاوی ژیپس از دمای کمتر از ۵۰ درجه آون استفاده گردید زیرا که ژیپس در تغییرات زیاد دما نایابدار بود و تغییر حالت می‌دهد. نمودار شاخص دوم در مقابل تعداد سیکل‌ها در آب مقطر برای نمونه‌ها ترسیم گردید (شکل ۵). همانطور که مشاهده می‌شود با افزایش تعداد سیکل‌ها شاخص دوم شکفتگی همه نمونه‌ها کاهش پیدا می‌کند. ژیپس آلاbastر به دلیل داشتن بافت ریزدانه، دارای سطح در معرض تماس بیشتری بوده و به این علت دوم کمتری نسبت به ژیپس پورفیریتیک دارد. دوم سنگ‌های مارنی شدیداً تابع میزان کربنات کلسیم آن بوده و با افزایش درصد کربنات کلسیم، شاخص دوم افزایش می‌پابد.

### ویژگی‌های فیزیکی

ویژگی‌های فیزیکی ژیپس‌ها و آهک‌های ماسه‌ای بر اساس استاندارد ASTM 1981 تعیین شدند (جدول ۲). با توجه به حساسیت مارن‌ها در برابر آب، برای تعیین ویژگی‌های فیزیکی مارن‌ها از روش تلوئن استفاده شد. نمونه‌های ژیپس تفاوت قابل توجهی در وزن واحد حجم نداشتند زیرا مقدار ناخالصی آنها پایین است. وزن واحد حجم سنگ‌های مارنی تابع ترکیب کانی-شناسی و میزان تخلخل و همچنین میزان گسترش فرایندهای تکتونیکی نظیر ریز ترکها و درزه‌هاست. با افزایش میزان کربنات کلسیم چگالی مارن‌ها کاهش می‌پابد زیرا بطور کلی کائولینیت، مونتموریلونیت، ایلیت و کلریت چگالی بیشتری نسبت به کربنات‌ها (کلسیت) دارند. با افزایش کربنات کلسیم فراوانی کانی‌های رسی کمتر شده لذا چگالی سنگ مارنی کاهش می‌پابد.

### خصوصیات مکانیکی

#### مقاومت تراکمی تک محوري، مدول الاستیسیته

آزمون مقاومت فشاری تک محوره رایج ترین روش ارزیابی مقاومت سنگ است. علاوه بر اینکه از نتایج آن در محاسبات طراحی پی استفاده می‌گردد، در طبقه‌بندی مهندسی سنگ بعنوان یک شاخص با اهمیت کاربرد دارد. هر دو آزمون مقاومت تراکمی تک محوره (G) و مدول الاستیسیته (E) بر اساس استاندارد ISRM, 1981 و ASTM D 2938 مارن (قطر نمونه‌ها ۵۴ میلیمتر (NX)) و نسبت طول به قطر ۲:۱ انجام شدند (جدول ۳). به علت ضخامت کم آهک ماسه‌ای، این آزمایش‌ها بر روی نمونه‌های مکعبی شکل صورت گرفت. مدول‌های ارتجاعی با استفاده از منحنی‌های تنش-تغییر شکل و در تنش معادل ۵٪ تنش حداکثر محاسبه شده‌اند. بر اساس این منحنی‌ها، رفتار ژیپس‌ها پلاستیک-الاستیک-پلاستیک و خرش (creep) و رفتار مارن‌ها الاستیک-پلاستیک می‌باشند. با توجه به مقادیر مقاومت تراکم تکمحوری و نسبت مدولی و بر اساس طبقه‌بندی دیر و میلر (1966)، ژیپس آلاbastر به عنوان سنگ ضعیف با نسبت مدولی زیاد (DH) و ژیپس پورفیریتیک، مارن‌ها و آهک ماسه‌ای به عنوان سنگ بسیار ضعیف با نسبت مدولی زیاد (EH) طبقه‌بندی شدند.

زمینهای از ریز دانه‌ها دیده می‌شوند. ژیپس پورفیریتیک درشت دانه در اثر آبگیری ایندیریت تشکیل شده است. ژیپس پورفیریتیک در مقطع میکروسکوپی دارای بلورهای درشت ایندیریت (An) و زمینه ریزدانه ژیپس (Gyp) است (شکل ۴-الف) و آنالیز XRD نشان داده که ناخالصی‌نبار. ژیپس آلاbastر ریزدانه بعد از ژیپس پورفیریتیک و در نزدیکی سطح زمین تشکیل می‌گردد (Tony et al., 2005) (Gyp) و کانی رسی (کلریت) (Chl) است و بافت ریزدانه دارد (شکل ۴-ب) و آنالیز XRD نشان داد که کانی رسی کلریت در آن وجود دارد (شکل ۴-د). به دلیل وجود کلریت، این نوع ژیپس در نمونه دستی سبز رنگ دیده می‌شود.

### آهک ماسه‌ای رس‌دار

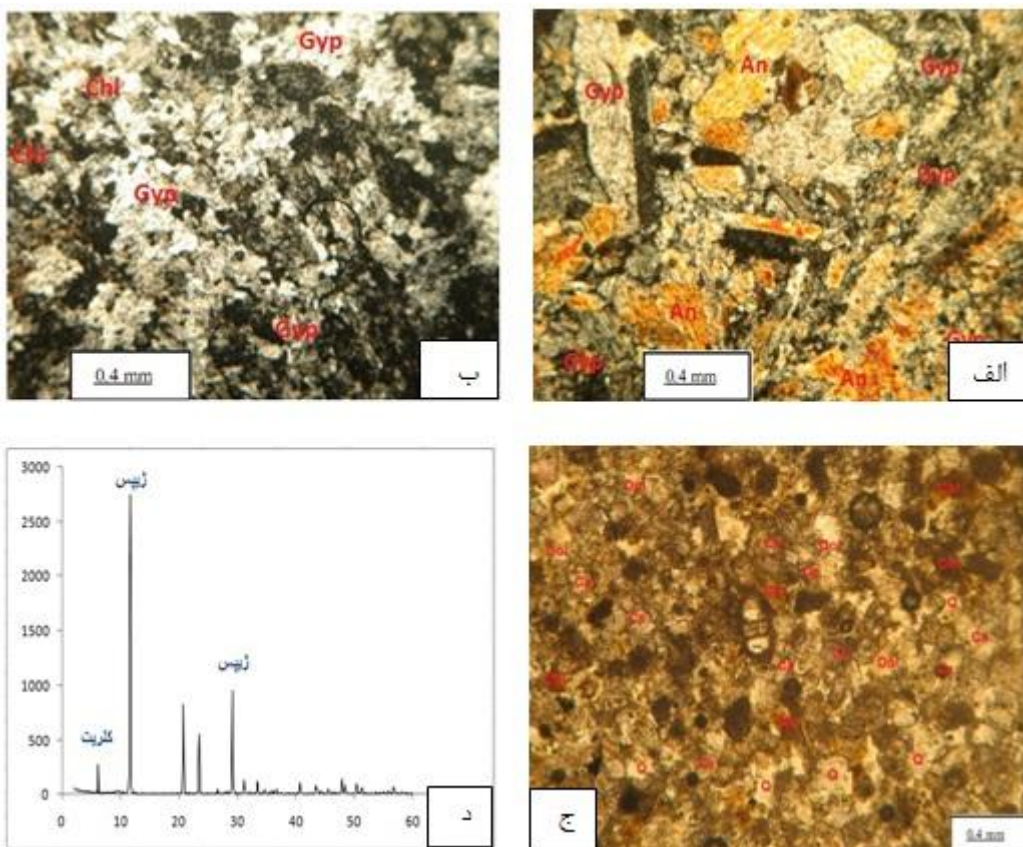
این سنگ در مقطع نازک از کلسیت، دولومیت، کوارتز و کانی‌های رسی تشکیل شده و فسیل نیز در آن نمایان است (شکل ۴-ج). بر اساس نتایج آزمایش کلسیمتری به روش تیتراسیون برگشتی، کربنات این سنگ ۴۵٪ باشد، مواد باقی مانده در آزمایش کلسیمتری حدود ۳۵٪ کوارتز و ۲۰٪ کانی‌های رسی است. نتایج آنالیز XRD نشان می‌دهد که این سنگ از کانی‌های کلسیت، دولومیت، کوارتز و ایلیت تشکیل شده است. آهک‌های سازند گچساران از نوع میکریتی و دولومیکریتی بوده که در مقطع نازک شبیه دولومیت‌ها دیده می‌شوند. دانه‌های کوارتز که در آزمایش کلسیمتری جدا شده بودند، در زیر میکروسکوپ پلاریزان مطالعه شدند. در این مطالعه مشخص شد که دانه‌های کوارتز زرد نخدودی و مات هستند که می‌تواند تأیید کننده منشاء بادی این ماسه‌ها باشد.

### مارن

به سنگ‌هایی گفته می‌شود که دارای ۳۵ تا ۶۵٪ کربنات بوده و بین ۶۵ تا ۳۵٪ رس داشته باشد (آدایی، ۱۲۶۶). در منطقه مارن‌ها به رنگ‌های قرمز، سبز، کرمی و خاکستری دیده می‌شوند. در بین انواع مارن، دو نوع مارن قرمز و سبز گسترش بیشتری در منطقه دارند. درصد سیلت و کانی رسی نمونه‌ها با آزمایش هیدرومتری تعیین و نوع کانی رسی با آنالیز XRD تعیین شد. با آزمایش کلسیمتری به روش "تیتراسیون برگشتی" مقدار کربنات کلسیم نمونه‌ها معین گردید و از طریق تعیین هدایت الکتریکی مارن‌ها، مقدار درصد ژیپس نمونه‌ها مشخص شد. بر اساس ترکیب کانی شناسی، مارن‌ها به ۴ واحد تقسیم شدند (جدول ۱). اکسید آهن فریک و هماتیت باعث ایجاد رنگ قرمز و احیاء هماتیت و وجود آهن فرو در شبکه کانی‌های ایلیت و کلریت سبب ایجاد رنگ سبز در مارن‌ها شده است. در منطقه مارن‌هایی دیده می‌شود که دارای رگه‌های نازک ژیپس فیبری ثانویه به ضخامت ۱cm یا کمتر می‌باشند، ژیپس‌ها در مدت اتحلال حمل شده و در شکستگی‌هایی که جهت یافتنی مختلف دارند، تریق شده و رگه‌ها را ایجاد کرده‌اند. در بخش‌هایی مارن‌ها دارای لامینه‌هایی از ماسه و سیلت بوده که منشأ بادی دارند، این نوع مارن‌ها می‌توانند به عنوان مرز سیکل‌های رسوب‌گذاری در نظر گرفته شوند (Gill et al., 1972).

### دوم پذیری

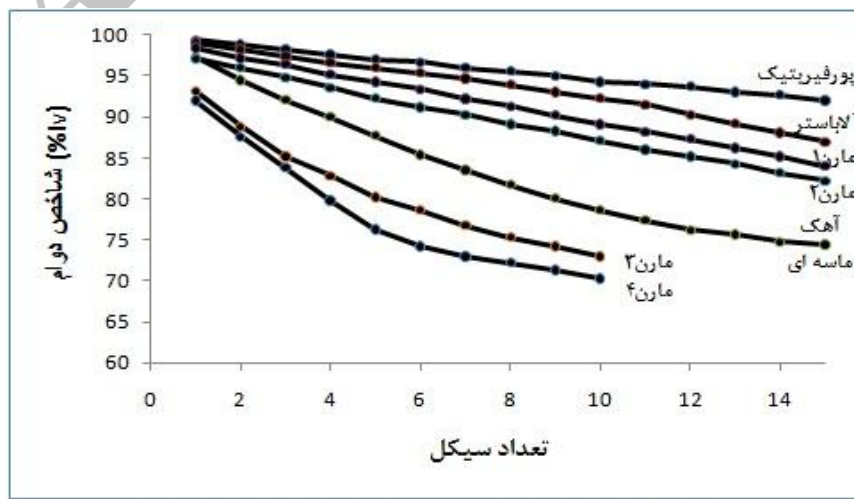
دوم به قدرت مقاومت مواد در برایر عوامل مخرب فیزیکی و شیمیایی اتلاق می‌شود. عوامل کنترل کننده دوم یک نمونه تابع کانی غالب، شکستگی-های ریز، تجزیه و هوازدگی سنگ است. نوسان مخزن سد نیز، تاثیر فراوانی بر



شکل ۴. مقطع میکروسکوپی الف: زیپس پورفیریتیک ب: زیپس آلاماستر ج: آهک ماسه ای رس دار د: نمودار آنالیز XRD زیپس آلاماستر

جدول ۱. ترکیب کانی‌شناسی و تقسیم بندی انواع مارن

واحد مارنی	رنگ	میانگین رس.%	میانگین رس.%	میانگین رس.%	میانگین رس.%	نوع کانی رسی
۱	خاکستری	%۳۵	%۰.۱	%۰.۶۳	%۰.۱	ایلیت و کلریت
۲	سبز	%۴۶	%۰.۱	%۰.۵۲	%۰.۱	ایلیت و کلریت
۳	قرمز مایل به نارنجی	%۵۲	%۰.۱	%۰.۴۰	%۰.۷	ایلیت و کلریت
۴	قرمز	%۵۸	%۰.۱	%۰.۳۳	%۰.۸	ایلیت و کلریت



شکل ۵. نمودار تعداد سیکل ها در برابر شاخص دوم برای واحدهای سنگی سازند گچساران

نوع سنگ	جدول ۲. ویژگی‌های فیزیکی واحدهای سنگی سازند گچساران							اشباع (g/cm <sup>3</sup> )
	میانگین درصد رطوبت (%)	میانگین درصد جذب آب (%)	میانگین درصد تخلخل (%)	وزن مخصوص بخش جامد خشک (G <sub>s</sub> )	وزن واحد حجم خشک (g/cm <sup>3</sup> )	وزن واحد حجم مرطوب (g/cm <sup>3</sup> )		
ژیپس آلاماستر	۱/۲	۰/۶۵	۱/۵۴	۲/۲	۲/۳	۲/۳۳	۲/۴۱	
ژیپس پورفیریتیک	۱/۶	۰/۸	۲/۳۶	۲/۱	۲/۲	۲/۲۴	۲/۳۱	
واحد ۱ مارنی	۱/۲	۴/۸	۱۱/۲	۲/۵۳	۲/۵۱	۲/۵۴	۲/۶۶	
واحد ۲ مارنی	۱/۴۴	۵/۷	۱۰/۶	۲/۶۱	۲/۵۳	۲/۵۶	۲/۷۴	
واحد ۳ مارنی	۲/۳	۷/۱	۱۱/۴	۲/۶۵	۲/۳۳	۲/۳۸	۲/۵۴	
واحد ۴ مارنی	۱/۲	۶/۴	۱۰/۹	۲/۷	۲/۴۵	۲/۵	۲/۶۴	
آهک ماسه ای	۲/۵	۱۱/۴	۱۷/۴	۲/۵۴	۲/۱	۲/۱۵	۲/۳۱	

مورد سنگ‌های مارنی، با افزایش تراکم سنگ، افزایش درصد کربنات کلسیم و کاهش میزان تخلخل سنگ، سرعت انتشار امواج افزایش پیدا کرد (جدول ۳).

### سختی سنگ

سختی سنگ معیاری فیزیکی برای ارزیابی مقاومت سنگ محاسبه شده که آزمایش غیرمخرب است و به منظور شناخت مقاومت سنگ در پروژه‌های کوچک به کار گرفته می‌شود. در این پژوهش سختی نمونه‌ها با استفاده از چکش اشمت نوع L و در صوراً تعیین شده است. ۲۰ آزمون جداگانه بر روی هر بلوك سنگی با وضعیت افقی چکش و بر اساس استاندارد (ISRM, 1981) و ASTM D2216 انجام شد. همانطور که در (جدول ۳) ملاحظه می‌شود حداقل عدد سختی اشمت (N) مربوط به مارن واحد ۴ با کمترین میزان کربنات بوده و حداقل آن مربوط به ژیپس آلاماستر می‌باشد.

### انحلال پذیری ژیپس

پروژه‌های متعددی در سراسر جهان و کشور ما با مسئله حضور کانی‌های انحلال پذیر مثل ژیپس و مشکلات ناشی از آن روبرو هستند. چنانچه ذکر شد، دو سوم از مخزن سد جره در منطقه رامهرمز را سازند گچساران در بر می‌گیرد. گسترش ژیپس‌ها در مخزن سد ممکن است مشکلاتی همچون فرار آب و تغییر کیفیت آب را بوجود آورد. به منظور ارزیابی خطرات بالقوه و انجام بهسازی‌های لازم، تعیین مقدار و سرعت انحلال این سنگ‌ها ضروری می‌باشد. در این پژوهش به منظور بدست آوردن این پارامترها برای ژیپس آلاماستر و پورفیریتیک، از آزمایش انحلال پذیری به روش سیرکولاسیون استفاده شد. تغییرات pH<sub>2</sub> CO<sub>2</sub> محلول در آب یا به عبارت دیگر تغییرات pH آب اثرات قابل توجهی بر قابلیت انحلال سنگ‌های انحلال پذیر دارد. افزایش مقدار CO<sub>2</sub> محلول در آب موجبات کاهش اسیدیته محلول را فراهم می‌آورد و فرایند انحلال را تقویت و تسريع می‌نماید. به منظور ارزیابی اثرات تغییرات pH انحلال پذیری ژیپس، آزمایش انحلال در سه سیکل و با pH های مختلف انجام شده است. ثابت سرعت انحلال نیز در هر سیکل به دو روش وزنی و حجمی محاسبه گردید (جدول ۴).

### آزمون بار نقطه‌ای

آزمون مقاومت بار نقطه‌ای یک آزمایش سریع و آسان برای بدست آوردن مقاومت تراکم تک محوری سنگ‌های سخت می‌باشد (Goodman, 1982). در این پژوهش آزمون بار نقطه‌ای بر اساس استاندارد ISRM 1981 انجام شد (جدول ۳). نمونه‌های ژیپس و مارن، قطری برابر با ۵۸/۵ میلیمتر و طولی ۱/۵ برابر قطر داشتند. برای آهک ماسه‌ای از نمونه‌های کلوخه‌ای استفاده شد. تقریباً در تمام آزمایش‌های انجام شده صفحه شکست نمونه‌های آلاماستر دندانه‌دار و صفحه شکست نمونه‌های پورفیریتیک ناهموار بود. تفاوت در وضعیت هندسی صفحات شکست ژیپس‌ها را می‌توان به قفل شدگی زیاد ذرات ژیپس آلاماستر نسبت به ژیپس پورفیریتیک نسبت داد.

### آزمون کشش برزیلی

مقاومت کششی (σ<sub>c</sub>) نمونه‌ها بطور غیر مستقیم توسط آزمایش برزیلی و بر اساس استاندارد ISRM 1981 تعیین شد. بر اساس نتایج بدست آمده بالاترین مقادیر مقاومت کششی ژیپس‌ها مربوط به ژیپس آلاماستر و کمترین مقادیر برای ژیپس پورفیریتیک می‌باشد (جدول ۳). دامنه تغییرات مقاومت کششی مارن‌ها بین ۱/۴۲ تا ۲/۲ کیلوپاسکال بر متر مربع بوده است. در نمونه‌های مارن با درصد رس بالا نمونه بعد از تغییر شکل زیاد و با افزایش تعداد گسیختگی تا رسیدن به مقاومت نهایی، دچار شکست شد و در نمونه‌های با درصد کربنات کلسیم بالا سنگ بطور ناگهانی و با صدای انفجار شکسته شد.

### سرعت موج

سرعت موج طولی (v<sub>p</sub>) بر روی نمونه‌های استوانه‌ای و بر اساس استاندارد (ISRM 1981) و ASTM D 2845 با استفاده از دستگاه التراسونیک، بدست آمد. سرعت امواج متأثر از اندازه دانه‌های تشکیل دهنده سنگ بوده به نحوی که بطور کلی سرعت موج در سنگ‌های ریز بیشتر از سنگ‌های درشت دانه می‌باشد (خانلری ۱۳۸۹). ژیپس آلاماستر به دلیل ریزدانه بودن دارای سرعت عبور موج بیشتری نسبت به ژیپس پورفیریتیک می‌باشد. در

جدول ۳. خصوصیات ژئوتکنیکی واحدهای سنگی سازند گچساران

نوع سنگ	σ <sub>c</sub> (Mpa)	σ <sub>t</sub> (Mpa)	E (Gpa)	I <sub>s</sub> (Mpa)	v <sub>p</sub> (m/s)	N
ژیپس آلاماستر	۳۲/۵	۳/۷	۳	۰/۹۸	۴۵۸۳	۳۹
ژیپس پورفیریتیک	۲۰/۲	۲/۸	۱/۹۴	۰/۵۸	۴۳۷۲	۳۲
۱ مارن	۱۸/۳	۲/۲	۱/۸۲	۰/۸۷۹	۱۹۷۴	۲۹
۲ مارن	۱۳/۴	۱/۸۳	۱/۴۷	۰/۵۲۳	۱۷۳۴	۲۵
۳ مارن	۱۱/۲	۱/۴۲	۱/۲	۰/۴۵۷	۱۵۴۰	۲۱
۴ مارن	۹/۴	۱/۰۶	۰/۹۴	۰/۳۲۶	۱۲۱۱	۱۸
آهک ماسه‌ای	۱۴/۲	۱/۹۲	۱/۵۳	۰/۵۴۳	۱۴۲۵	۲۴

اشباع ۰/۲۵٪، ۰/۵۰٪ و ۱۰۰٪ سولفات سدیم آبدار (ژیپس) نیز انجام گردید (جدول ۵).

### (Adaptive Neuro-Fuzzy Inference System) سیستم ANFIS

ترکیبی از منطق فازی و شبکه‌های عصبی می‌باشد که برای مدل کردن مسائل پیچیده‌ای که ارتباط بین متغیرهای مدل ناشناخته است، بسیار مناسب بوده و برای بکارگیری آن از نرم افزار MATLAB استفاده می‌شود. در سیستم ANFIS برای مدل سازی داده‌ها از الگوریتم پس انتشار (Back propagation) و از قاعده Sugeno برای درون‌یابی و پیش‌بینی خروجی استفاده می‌شود (کیا، ۱۳۸۹). ابتدا ورودی و خروجی‌ها به سیستم معرفی شده و سیستم مرحله یادگیری را انجام می‌دهد. سپس برای معتبر سازی مدل، آزمایش سیستم انجام می‌شود. در این پژوهش داده‌های ورودی شامل مقاومت کششی، شاخص دوام سیکل اول و تخلخل ۱۰۶ نمونه از اوندھای لیتولوژی سازند گچساران در منطقه مورد مطالعه می‌باشند و پارامتر خروجی، مقاومت تراکمی تک محوری سنگ هاست. هر مدل دارای یک ساختار معادل می‌باشد که ورودی، خروجی، قواعد مورد استفاده و نرون‌ها را به ما نشان می‌دهد (شکل ۶). در لایه Inputmf ورودی‌ها از توابع عضویت (membership functions) عبور می‌کنند. توابع عضویت هر تابع، پارامتر مناسبی می‌تواند باشد که در اکثر موارد توابع گاوسین (Gaussian function) انتخاب می‌شوند، مثل تابع زنگی شکل (شکل ۷). درجه تابع عضویت مقدار سطح واستگی عضو به مجموعه فازی را نشان می‌دهد.

### تورم مارن

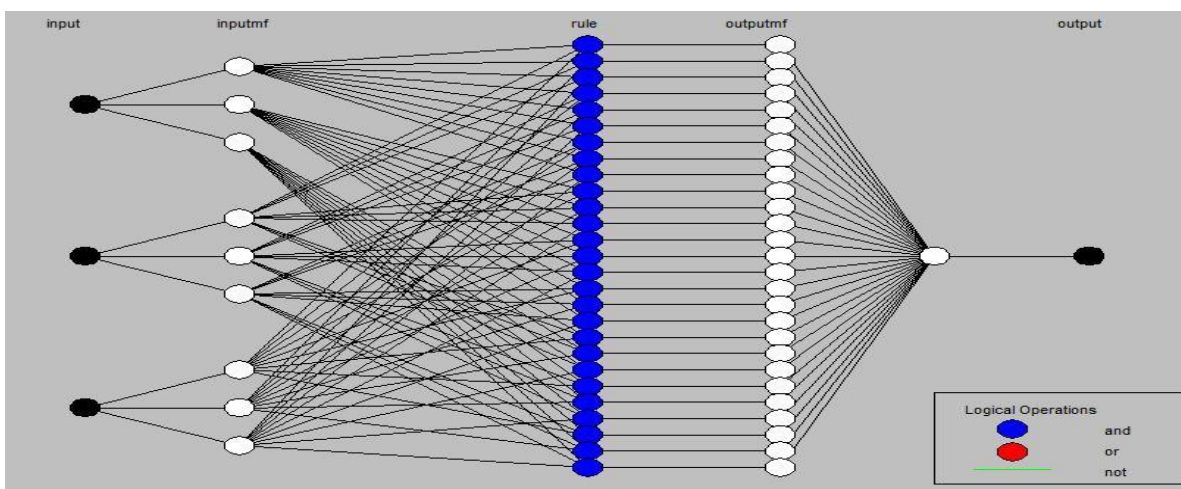
تورم مارن‌ها در اثر جذب آب ممکن است سبب تخریب و یا ایجاد مشکلاتی در سازه‌ها شود. شواهد صحرایی نشان می‌دهد که مارن‌های سازند گچساران قابلیت تورم دارند و در برخی موارد سبب تخریب سازه‌ها مثل دیوارهای حایل پارک کوهستان، دیوار حایل جاده رامهرمز به شهرهای معجاور و ایجاد ناهمواری در سطح جاده شده‌اند. متورم شدن مارن‌ها در مخزن سد جره در اثر تماس با آب، ممکن است با ایجاد فشار تورمی، سبب ایجاد مسائلی همچون ناپایداری دامنه‌ها شود. از این‌رو سعی شده که با انجام مطالعات آزمایشگاهی، درصد تورم و فشار تورمی مارن‌ها مورد ارزیابی قرار گیرند. روش‌های متعددی جهت بررسی پتانسیل تورم سنگ‌ها ارائه شده ولی معمول‌ترین آنها، روش پیشنهادی ISRM یعنی آزمون تعیین شاخص تورمی در حجم ثابت می‌باشد. در این آزمون، نمونه با نسبت قطر به ضخامت بیش از ۲/۵ در حلقه تحکیم قرار داده شده و سپس با آب مقطر اشباع گردید. نمونه با دریافت آب متورم می‌شود، توسط گیج (gauge) حداکثر میزان تورم قرائت و با داشتن ضخامت نمونه، کرنش تورمی را به عنوان درصد تورم محاسبه می‌گردد. با بارگذاری روی نمونه جلوی تورم آن گرفته می‌شود. حداکثر بار لازم برای جلوگیری از نیروی تورم، بعنوان فشار تورم (Ps) در نظر گرفته می‌شود. در این پژوهش درصد تورم و فشار تورمی مارن‌های سازند گچساران با استفاده از آزمایش شاخص تورمی در حجم ثابت محاسبه شد. با توجه به اینکه اتحلال ژیپس، احتمالاً سبب سولفاته شدن آب مخزن سد جره خواهد شد، لذا به منظور بررسی اثر آب سولفاته بر میزان تورم مارن‌ها، این آزمایش با درصدهای

جدول ۴. قابلیت اتحلال و ثابت سرعت اتحلال ژیپس‌های سازند گچساران در pH های مختلف

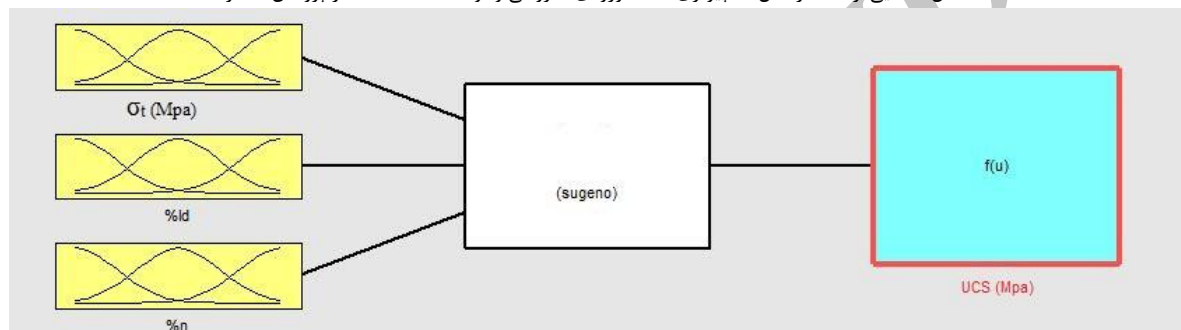
نمونه سنگ	اسیدیته محلول pH	میزان اتحلال (g/l)	ثابت سرعت اتحلال به روش وزنی (m/s)	ثابت سرعت اتحلال به روش حجمی (m/s)
ژیپس آلاماستر	۶/۵-۷	۲/۷۲	$0.275 \times 10^{-5}$	$0.568 \times 10^{-5}$
	۷-۷/۵	۲/۶	$0.286 \times 10^{-5}$	$0.587 \times 10^{-5}$
	۷/۵-۸	۲/۴۶	$0.293 \times 10^{-5}$	$0.593 \times 10^{-5}$
ژیپس پورفیریتیک	۶/۵-۷	۲/۶۳	$0.478 \times 10^{-5}$	$0.925 \times 10^{-5}$
	۷-۷/۵	۲/۵۷	$0.483 \times 10^{-5}$	$0.932 \times 10^{-5}$
	۷/۵-۸	۲/۴۱	$0.494 \times 10^{-5}$	$0.938 \times 10^{-5}$

جدول ۵. کرنش تورمی و فشار تورمی مارن‌های سازند گچساران در آب مقطر و آب حاوی غلظت‌های مختلف ژیپس (سولفات سدیم)

نمونه سنگ نمونه آب	فشار تورم (Kpa)				کرنش تورمی (%)			
	واحد ۱	واحد ۲	واحد ۳	واحد ۴	واحد ۱	واحد ۲	واحد ۳	واحد ۴
آب مقطر	۲۸۲/۲	۳۱۵/۷۶	۲۳۲/۸۲	۱۴۶/۹۴	% ۱۷/۶	% ۲۳/۶۴	% ۱۲/۳	% ۸/۴
۰٪/۰٪ ژیپس	۲۴۶/۳	۲۸۴/۶۲	۲۰۱/۷۲	۱۲۱/۴۲	% ۱۳/۴۱	% ۲۱/۳	% ۱۰/۲	% ۶/۴۲
۰٪/۵٪ ژیپس	۲۰۸/۸۳	۲۴۲/۵۱	۱۶۴/۵۲	۱۰۷/۶۳	% ۱۰/۲۲	% ۱۷/۸	% ۸/۴	% ۴/۸
۰٪/۷۵٪ ژیپس	۱۵۶/۴	۱۹۷/۵۶	۱۲۵/۳	۹۲/۷۲	% ۸/۱۳	% ۱۴/۴۶	% ۶/۶	% ۳/۱۴
۱۰٪/۰٪ ژیپس	۱۰۸/۴	۱۲۲/۷۶	۹۶/۲	۸۳/۵۳	% ۶/۸	% ۹/۲	% ۴/۸۲	% ۲/۲۶



شکل ۶. نمایی از ساختار مدل کامپیوتری، تعداد ورودی، خروجی و قواعد استفاده شده در پژوهش حاضر



شکل ۷. تصویر تابع عضویت پارامترهای ورودی برای مدل مورد نظر

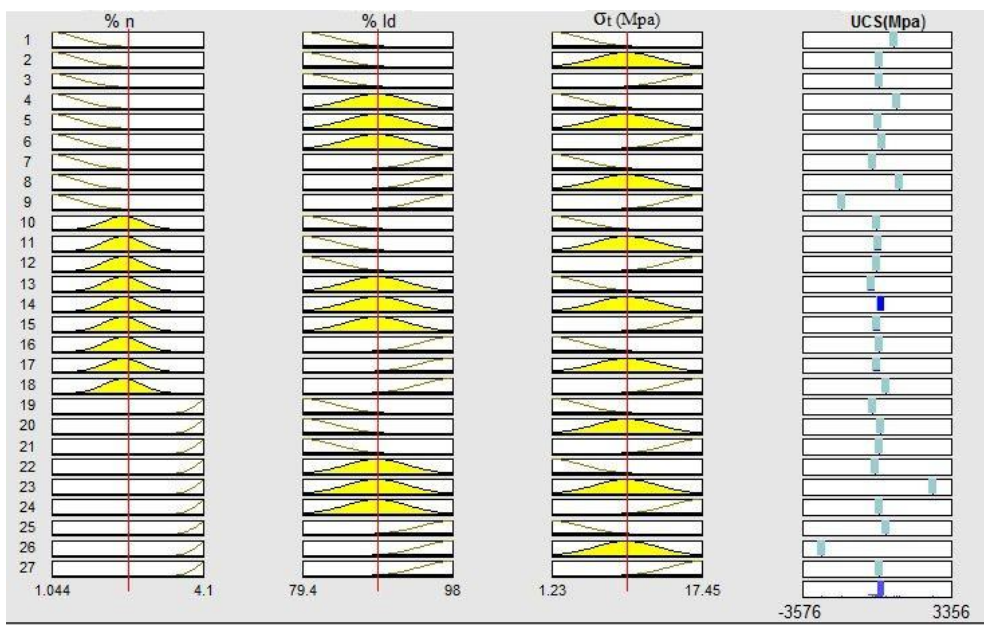
ورودی‌ها مورد استفاده قرار می‌گیرد. این نمایشگر یک نمودار سه بعدی شبکه-بندی شده است که پارامترهای ورودی را به پارامتر خروجی انگاشت می‌کند. ANFIS با استفاده از قواعد و تکنیک‌های خود، به درون‌بایی و شبیه‌سازی پارامترهای معرفی شده پرداخته و پیش‌بینی از نتایج را در قالب این نمایشگرها backpropagation online استفاده شده است یعنی در هر تکرار به ازای هر داده که اعمال می‌شود خطا محاسبه می‌شود و پس انتشار خطأ صورت می‌گیرد. پارامترهای مورد استفاده در این پژوهش شامل مقاومت کششی، شاخص دوام سیکل اول و درصد تخلخل سنگ می‌باشد که با استفاده از ANFIS رابطه بین این پارامترها پیش‌بینی و مقاومت تراکمی تک محوره سنگ معین گردید. بر این اساس در بین واحدهای لیتولوژی سازنده گچساران، با افزایش دوام و کاهش تخلخل، مقدار مقاومت سنگ افزایش می‌یابد (شکل ۹) و بیشترین مقاومت مربوط به سنگ با تخلخل کمتر از ۰.۲٪ و شاخص دوام بیش از ۹۸٪ است. کمترین مقدار مقاومت مربوط به سنگ‌های با تخلخل بین ۱۲ تا ۱۴٪ و شاخص دوام کمتر از ۸۵٪ می‌باشد.

همچنین در بین این واحدها با افزایش مقاومت کششی و کاهش تخلخل، مقاومت سنگ افزایش می‌یابد و برای این حالت، حداکثر مقاومت مربوط به سنگ با تخلخل کمتر از ۰.۲٪ و مقاومت کششی بیش از ۳/۷ کیلوپاسکال می‌باشد و کمترین مقاومت مربوط به سنگ‌های با تخلخل بیش از ۰.۶٪ و مقاومت کششی کمتر از ۳/۲ کیلوپاسکال است (شکل ۱۰).

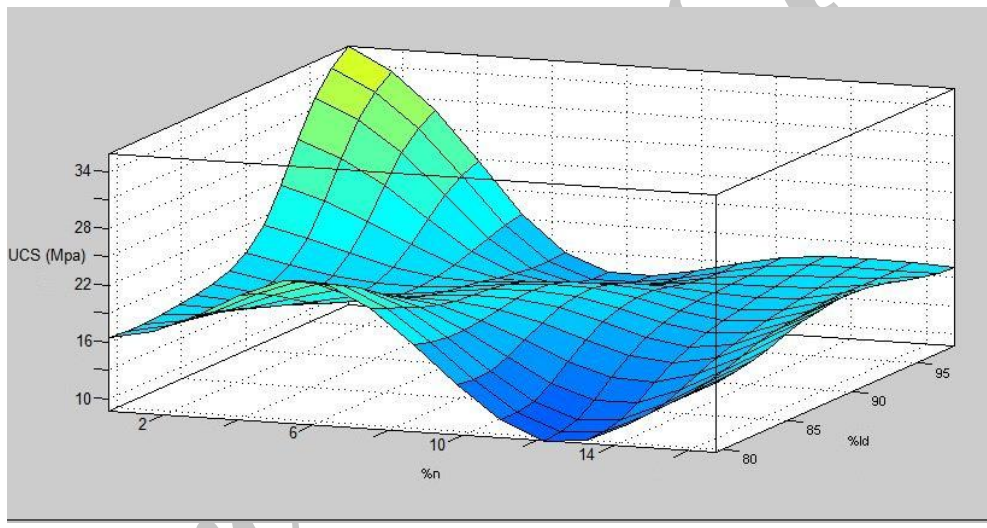
دیاگرام استنتاجی (Rule Viewer) یک محیط محاسبات تکنیکی MATLAB است که برای نمایش نمودارهای مربوط به استنتاج فازی مورد استفاده قرار می‌گیرد. از این ابزار برای تشخیص و نمایش قواعد و نحوه تأثیر توابع در نتیجه نهایی استفاده می‌شود (کیا، ۱۳۸۹). این دیاگرام قابلیت تفسیر کل فرآیند استنتاج فازی را فاهم می‌آورد. دیاگرام استنتاجی از مدل ANFIS فرض شده در (شکل ۸) برای مقادیر ورودی ۱ تا ۲۷ با مقادیر تطبیقی از عضویت خروجی که ثابت انتخاب شده، آورده شده است. هر سطر مربوط به یک قاعده بوده که شماره هر یک از قواعد در سمت چپ نمودارها نشان داده شده و هر ستون مربوط به یک متغیر است. سه ستون زرد رنگ مربوط به فرض قواعد بوده و ستون آخر مربوط به نتیجه قواعد است. به عنوان مثال چهار نمودار ردیف اول نشان دهنده فرض و نتیجه مربوط به قاعده اول است. در دیاگرام استنتاجی، با وارد کردن مقادیر دلخواه از پارامترهای ورودی، می‌توان مقدار مقاومت سنگ را پیش‌بینی کرد.

#### پیش‌بینی مقاومت تراکمی تک محوره واحدهای سنگی با استفاده از سیستم ANFIS

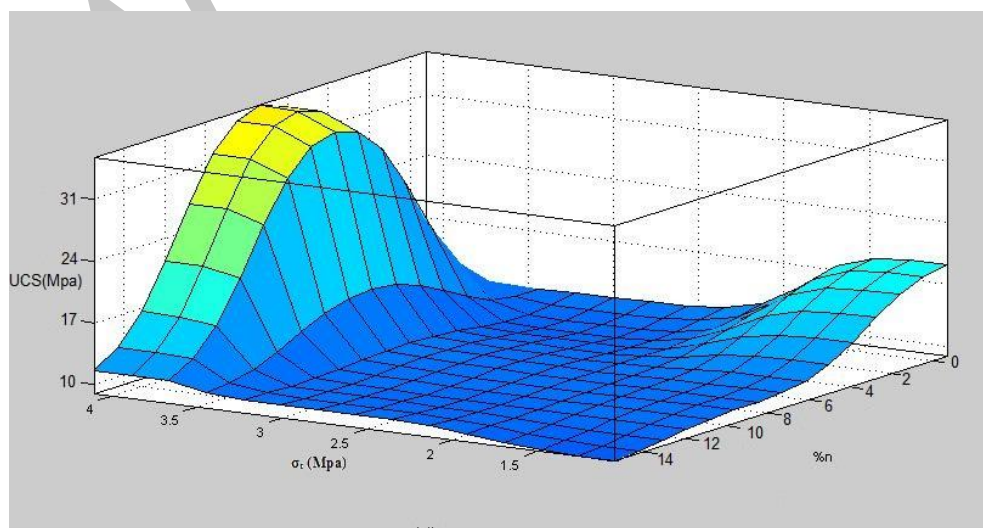
تعیین مقاومت سنگ با داشتن اطلاعات اندکی از آن در بسیاری از موارد مثل بی‌سازی، با ارزش می‌باشد. در این پژوهش سیستم ANFIS با استفاده از تکنیک‌های یادگیری، مقدار مقاومت سنگ را یاد گرفته و در نهایت مدلی را در قالب نمایشگر سطوح (Surface Viewer) برای ما طراحی کرد که تنها با داشتن دو پارامتر از خصوصیات سنگ می‌تواند مقدار مقاومت سنگ را تعیین کند. نمایشگر سطوح برای نمایش و استنگی پارامتر خروجی به هر یک از



شکل ۸. تصویر مربوط به نمایشگر قواعد برای پژوهش حاضر: ۲۷ قاعده برای پیش بینی ارتباط بین داده ها وجود دارد



شکل ۹. شکل سه بعدی نمایشگر سطوح: رابطه بین مقاومت تراکمی تک محوره با شاخص دوام و درصد تخلخل واحدهای سنگی



شکل ۱۰. شکل سه بعدی نمایشگر سطوح: رابطه بین مقاومت تراکمی تک محوره با مقاومت کششی و درصد تخلخل واحدهای سنگی

آزمایش باعث کاهش هر دو کمیت فشار تورمی و کرنش تورمی شد. بگونه‌ای که در آب ۱۰۰٪ اشباع نسبت به ژیپس (حدوداً ۲/۵ گرم ژیپس در لیتر) کرنش تورمی و فشار تورمی به ترتیب ۷/۹۲ kPa و ۱۲۲/۷۶ kPa بوده که نسبت به آب مقطر به ترتیب حدود ۳۹/۹ و ۳۸/۸۷ درصد کاهش نشان می‌دهند. واحدهای ژیپسی موجود در این سازند نیز از نظر سنگ‌شناسی متفاوت هستند. تفاوت در خصوصیات سنگ‌شناسی سایر ویژگی‌های مهندسی را تحت تاثیر قرار می‌دهد. دوام ژیپس‌ها از نوع بافت تعیین می‌کند. ژیپس آلاماستر به علت ریزدانه بودن سطح تماس بیشتری با محلول دارد و دوام آن کمتر از ژیپس پورفیریتیک می‌باشد. ژیپس آلاماستر به دلیل ریزدانه بودن و افزایش سطح در معرض تماس با محلول، قابلیت انحلال بیشتری نسبت به ژیپس پورفیریتیک دارد. در  $\text{pH}$  بین ۶/۵ تا ۷، قابلیت انحلال ژیپس آلاماستر و ژیپس پورفیریتیک به ترتیب برابر با ۲/۷۲ و ۲/۶۳ گرم بر لیتر است. این موضوع در ارزیابی میزان انحلال پذیری واحدهای ژیپسی سازند گچساران حائز اهمیت است. به خصوص زمانی که سازند در مخزن سدها واقع می‌شود و شناخت ثابت سرعت انحلال و میزان انحلال ژیپس برای ارزیابی کیفیت آب مخزن مورد توجه قرار دارد. خصوصیات مکانیکی سنگ ژیپس به مقدار زیادی تحت تأثیر بافت و قفل شدگی کانی‌ها می‌باشد. مقاومت تراکمی تک محوری، مدول الاستیسیته، مقاومت کششی، شاخص بارنقطه‌ای، سرعت عبور موج و سختی ژیپس آلاماستر نسبت به ژیپس پورفیریتیک بیشتر است و عامل اصلی آن وجود قفل شدگی در بین واحدهای است. بر اساس پیش‌بینی‌های ANFIS بیشترین مقاومت ژیپس آلاماستر می‌باشد. این سنگ باعث قفل شدگی مناسب کانی‌ها، دارای تخلخل کمی بوده و دوام آن هم نسبتاً بالا است و مقاومت کششی بالاتری نسبت به دیگر واحدها دارد.

### نتیجه گیری

سازند گچساران در منطقه رامهرمز مشتمل از ژیپس، مارن و آهک ماسه‌ای می‌باشد. ژیپس‌ها و بعد از آن مارن‌ها بیشترین ضخامت و گسترش را دارا هستند و آهک ماسه‌ای، ضخامت و گسترش کمتری دارد. ژیپس‌ها بر اساس بافت به دو نوع ژیپس ریز دانه (آلوماستر) و ژیپس درشت دانه (پورفیریتیک) و مارن‌ها بر اساس ترکیب کانی شناسی به ۴ واحد تقسیم شدن. بر اساس درصد تخلخل، ژیپس آلاماستر و ژیپس پورفیریتیک در رده پایین، مارن‌ها در رده متوسط و آهک ماسه‌ای در رده بالا قرار گرفتند. بر اساس مقدار دانسیته خشک، ژیپس آلاماستر، ژیپس پورفیریتیک و مارن‌ها در دانسیته متوسط و آهک ماسه‌ای دانسیته پایینی دارد. بر اساس طبقه‌بندی سنگ بکر، ژیپس آلاماستر در رده  $\text{DH}$  و ژیپس پورفیریتیک، انواع مارن و آهک ماسه‌ای در رده  $\text{EH}$  قرار گرفتند. بافت نقش اصلی در تفاوت رفتار ژیپس داشته و درصد کربنات کلسیم و کانی‌های رسی عامل کنترل کننده خصوصیات زمین شناسی مهندسی سنگ‌های مارنی هستند. ژیپس آلاماستر قابلیت انحلال بیشتری نسبت به ژیپس پورفیریتیک دارد. انحلال پذیری هر دو ژیپس با کاهش قلیائیت و افزایش اسیدیته آب، افزایش می‌یابد. افزایش درصد ژیپس در نمونه‌های مارن از دلایل اصلی کاهش کرنش تورمی و فشار تورمی بوده است. افزایش غلظت سولفات سدیم (ژیپس) در آب نیز باعث کاهش کرنش تورمی و فشار تورمی نمونه‌های مارن گردید. نتایج این پژوهش نشان داد که تکنیک شناخته شده ANFIS برای مدل کردن مسائل پیچیده‌ای که ارتباط بین متغیرهای مدل ناشناخته است مناسب می‌باشد. مدل ANFIS ارائه شده قادر است که با استفاده از دیگر خصوصیات آزمایشگاهی، مقاومت سنگ را پیش‌بینی کند که بر اساس آن حداقل مقاومت در بین واحدهای سنگی سازند گچساران، مربوط به ژیپس آلاماستر می‌باشد.

### بحث

سازند گچساران جزء سازندهای مشکل آفرین محسوب می‌شود. مشکل آفرینی این سازند مربوط به انحلال پذیری ژیپس‌ها و قابلیت تورم واحدهای مارنی می‌باشد. به این دلیل شناخت شرایط چینه شناسی سازند به عنوان یک ضرورت مطرح است. مقطع تیپ سازند گچساران در میدان نفتی گچساران از هفت بخش تشکیل شده و هر بخش ویژگی‌های سنگ شناسی متفاوتی دارد. بخش یک بصورت هم شبیب بر روی سازند آسماری قرار گرفته است و پوش سنگ مخازن نفتی جنوب غرب ایران می‌باشد که شامل انیدریت ضخیم لایه و لایه‌های نازک آهک می‌باشد. بخش دوم از لایه‌های ضخیم نمک، لایه‌های انیدریت و لایه‌های نازک آهک تشکیل شده است. بخش سوم شامل لایه‌های ضخیم انیدریت، لایه‌های نمک، لایه‌های نازک آهک و مارن می‌باشد. بخش چهارم از لایه‌های ضخیم نمک با میان لایه‌های مارن، آهک و انیدریت تشکیل شده است. بخش پنجم شامل انیدریت‌های مارنی، آهک و مارن می‌باشد. بخش ششم از انیدریت با طبقات متناوب مارن فرم و آهک تشکیل شده است. بخش هفتم بصورت هم شبیب در زیر سازند میشان قرار گرفته و شامل مارن‌های رنگی، انیدریت، ژیپس، آهک ماسه‌ای و نمک می‌باشد (James and Wynd, 1965). در مناطق جنوب و چون غرب ایران که سازند گچساران گسترش زیادی دارد مطالعه تفاوت در شرایط چینه شناسی قابل توجه است. ممکن است در ناحیه‌ای گسترش لایه‌های مارنی پیشتر بوده و اهمیت تورم پذیری سازند در ارتباط با پروژه عمرانی مد نظر قرار گیرد. هم چنین امکان دارد که در محل یک پروژه واحدهای ژیپسی سازند، بیشتر باشد که در این صورت مستله انحلال پذیری از اهمیت زیادتری برخوردار خواهد بود. در منطقه مورد مطالعه، این سازند از ژیپس، مارن و آهک ماسه‌ای رس دار تشکیل شده است. این واحدهای سنگی در مقایسه با مقطع تیپ، معروف بخش هفتم سازند گچساران می‌باشند (محمدیان و همکاران ۱۳۸۹). رفتار متفاوت واحدهای سنگی، شرایط پیچیده‌ای را بر رفتار این سازند حاکم کرده است. به منظور شناخت این رفتار آگاهی از خصوصیات فیزیکی هر واحد سنگی ضروری است. واحدهای سنگی این سازند به دلیل تخلخل زیاد و داشتن کانی‌های رسی آب زیادی جذب می‌کنند. آهک ماسه‌ای رس دار با ۲۰٪ رس و ۱۷/۴٪ تخلخل دارای بیشترین میزان جذب آب است. این موضوع در ارتباط با واحدهای مارنی نیز صادق است. در این پژوهش بیشترین میزان کرنش تورمی و فشار تورمی به ترتیب برابر با ۲۲/۶۴٪ و ۳۱۵/۷۶٪ کانی رسی است. واحدهای مارنی بود که درای حدود ۳۵٪ کانی رسی است. واحدهای ۴٪ مارنی، درصد کانی رسی بیشتری دارند اما کمترین مقدار کرنش تورمی و فشار تورمی را دارند. بررسی‌های کانی شناسی نشان داد که این سنگ‌ها به ترتیب دارای ۰/۷٪ و ۰/۸٪ ژیپس بوده که سبب کاهش پتانسیل تورم مارن‌ها شده‌اند. باید توجه داشت خصوصیات آبی که خاک یا سنگ را اشباع می‌کند بر مقدار تورم و فشار آن مؤثر است (Waddah et al., 1999). چنانکه گفته شد سازند گچساران حدود دو سوم از مخزن سد جره در شمال رامهرمز را در بر می‌گیرد. انحلال ژیپس‌های سازند گچساران می‌تواند سبب سولفاته شدن آب دریاچه سد شود از طرفی تماس آب با مارن‌های این سازند بعد از آبگیری ممکن است سبب تورم آنها شده و مشکلاتی مثل وقوع زمین لغزش را باعث شود لذا نیازمند بررسی بیشتر می‌باشد. علت اصلی فرایند تورم تبادل یونی است که بین مولکولهای آب و یون-هایی مثل سدیم و پتاسیم موجود در سطح رس رخ می‌دهد. در نتیجه انحلال ژیپس یون‌های سولفات و کلسیم آزاد می‌شوند. مرکز زیاد  $\text{Ca}^{+2}$  و  $\text{SO}_4^{-}$  بطور معمول فشار اسمزی زیاد بین آب موجود در نمونه و آب موجود بین لایه‌های طریف رس را کاهش می‌دهد در نتیجه از تمايل رس به جذب آب می‌کاهد (معماريان، ۱۳۸۴). اضافه کردن سولفات سدیم آب دار (ژیپس) به آب مورد

از همکاری مسئولین سد جره جهت بازدید از تأسیسات و برداشت اطلاعات و همچنین از زحمات بی دریغ مهندس موسوی و رسولی جهت انجام این پژوهش قدردانی شود.

**منابع**

- آدابی، م. ح، مترجم، ۱۳۶۶، سنگ های رسوی شیمیایی-بیوشیمیایی، انتشارات آستان قدس رضوی  
با غدارخت، ز، ۱۳۸۴، مطالعه انحلال پذیری سازند های کارستیک در ساختگاه سد تنگ شمیران ایلام، پایان نامه کارشناسی ارشد زمین شناسی مهندسی، دانشگاه بو علی سینا همدان
- برجسته، الف، و برقی، ف، ۱۳۸۸، "بررسی ویژگی های زمین شناسی مهندسی سد مخزنی جره بعنوان نخستین سد خاکی بدون پرده تزریق یا دیوار آب بند در کشور"،  
ششمین کنفرانس زمین شناسی مهندسی و محیط زیست ایران، دانشگاه تربیت مدرس
- پرهیزگار، م. ر، ۱۳۸۶، بررسی مخاطرات زمین شناسی در محدوده سد تنگ سرخ شیراز، پایان نامه کارشناسی ارشد زمین شناسی مهندسی، دانشگاه تربیت مدرس
- ترابی، م، ۱۳۸۹، مطالعه انحلال پذیری ژیپسیت های سازند گچساران در محل سد چم شیر، پایان نامه کارشناسی ارشد زمین شناسی مهندسی، دانشگاه بو علی سینا همدان
- خانلری، غ، ۱۳۸۹)، "اصول مکانیک سنگ"، انتشارات دانشگاه بوعلی سینا همدان
- خامه چیان، م. ۱۳۶۹، بررسی ویژگی های فیزیکی و مکانیکی سنگهای مارنی-رسی، پایان نامه کارشناسی ارشد زمین شناسی مهندسی، دانشگاه تربیت مدرس رضایی، ح، ۱۳۷۹، خصوصیات زمین شناسی مهندسی سنگهای مارنی ساختگاه سد دوستی، پایان نامه کارشناسی ارشد زمین شناسی مهندسی، دانشگاه تربیت مدرس کاپله، م. ۱۳۸۷، مطالعه خصوصیات زمین شناسی مهندسی سازند قم در شمال و شمال شرق همدان، پایان نامه کارشناسی ارشد زمین شناسی مهندسی، دانشگاه بو علی سینا همدان
- کیا، س. م، ۱۳۸۹، محاسبات نرم در MATLAB، انتشارات کیان رایانه سبز شرکت ملی نفت ایران، "نقشه زمین شناسی هفتگل"، مقیاس ۱:۱۰۰۰۰۰
- معماریان، ح، ۱۳۸۴، زمین شناسی مهندسی و ژئوتکنیک، انتشارات دانشگاه تهران، چاپ چهارم
- محمدیان، م، قبادی، م. ح، محسنی، ح، کرمی، ر، ۱۳۸۹، مطالعه لیتولوژی سازند گچساران و ارتباط آن با ژئومورفولوژی کارست در منطقه رامهرمز- خوزستان، چهاردهمین همایش انجمن زمین شناسی-دانشگاه ارومیه
- موسوی، س، ۱۳۸۵، مطالعه دوام سنگها و انحلال پذیری ژیپس به منظور آب بندی محل سد خیرآباد در شرق بهبهان، پایان نامه کارشناسی ارشد زمین شناسی مهندسی، دانشگاه بو علی سینا همدان

- Anonymous (1979) Classification of rocks and soils for engineering geological mapping. Part 1. Rock and soil materials. Bull Int Assoc Eng Geol 19:355–371
- Amrani N., Lamas F., Irigaray C., Chacon J., 1998, Engineering geological characterization of Neogene marls in the Southeastern Granada Basin, Spain, En. Geol. 50, pp:165-175
- Bell F., 1994, A survey of the engineering properties of some anhydrite and gypsum from the north and midlands of England, Eng. Geo.38, pp:1-23
- Brown ET (1981) Rock characterization, testing and monitoring (ISRM suggested methods). Pergamon, London, pp 211
- Cabalar A. F., Cevik A., Gokceoglu C., 2012, Some applications of Adaptive Neuro-Fuzzy Inference System (ANFIS) in geotechnical engineering, Computers and Geotechnics 40, pp: 14-33
- Deere DU, Miller RP (1966) Engineering classification and index properties for intact rock. Technical Report No. AFWL-TR-65-116, Air Force Weapons Laboratory, Kirtland Air Force Base, New Mexico, pp 308
- Franklin JA, Chandra A (1972) The slake durability test. Int J Rock Mech Min Sci 9:325–341
- Gill W.D and Ala M.A,1972,sedimentology of Gachsaran Formation,southwest Iran,AAPG Bull, v59(10) ,p1965-1974
- Goodman RE (1982) Introduction to rock mechanics. Wiley, New York, pp 478
- James G.A. and J.G.Wynd,1965,stratigraphic nomenclature of the Iranian oil Consortium agreement area, AAPG Bull, V49(12) ,P2182-2245
- Loanna I., Dimitrios R., Theodora P., Paris T.,2009, Geothechnical and mineralogical properties of weak rocks from central Greece, Cent. Eur. J. Geosci. 1(4), pp:431-442
- Tony W., Fred B., Martin C.,2005, Sinkholes and Subsidence, springer publication
- Yilmaz I.,2007, Differences in the geotechnical properties of two types of gypsum: alabastrine and porphyritic, Bull Eng Geol Env 66, pp:187-195
- Sadrekarimi J., Zekri A., Majidpour H.,2006, Geotechnical features of Tabriz Marl, International Association for Engineering geology and the environment (IAEG) , N.: 335
- Waddah S., Khalid A., Mohammed S., 1999, Influence of pore water chemistry on the swelling behaviour of compacted clays, Applied Clay Science 15, pp: 447-462